

Análise de transitórios

aplicações em sistemas e sinais

V.C.Parro

Maio - 2020

INSTITUTO MAUÁ DE TECNOLOGIA



A Transformada de Laplace unilateral - \mathcal{L}

A transformada de Laplace.

$$x(t) \xleftrightarrow{\mathcal{L}} X(s)$$
$$X(s) = \int_{0-}^{\infty} x(t) e^{-st} dt$$

Região de convergência

Região de convergência - \mathcal{L}

A transformada de Laplace de $x(t) = e^{-at}u(t)$:

$$\begin{aligned} X(s) &= \mathcal{L}[x(t)] = \int_0^{\infty} e^{-at} e^{-st} dt = \int_0^{\infty} e^{-at} e^{-(\sigma+j\omega)t} dt \\ &= -\frac{1}{a+\sigma+j\omega} e^{-(a+\sigma+j\omega)t} \Big|_0^{\infty} \end{aligned}$$

Neste caso, para que a integral tenha convergência:

$$a+\sigma > 0 \quad \text{or} \quad \sigma = \text{Re}[s] > -a$$

resultando na transformada:

$$X(s) = \frac{1}{(\sigma+a)+j\omega} = \frac{1}{s+a}$$

Região de convergência - \mathcal{L}

$$x(t) = e^{-a|t|} = e^{-at}u(t) + e^{at}u(-t)$$

Aplicando a propriedade da linearidade, $X(s)$ pode ser calculado por:

$$\mathcal{L}[e^{-at}u(t)] = \frac{1}{s+a}, \quad (\sigma > -a), \quad \mathcal{L}[e^{at}u(-t)] = \frac{-1}{s-a}, \quad (\sigma < a)$$

Se $a > 0$, $x(t)$ converge quando $|t| \rightarrow \infty$, e a intersecção das regiões de convergência ROCs é $-a < \sigma < a$, implicando em:

$$\mathcal{L}[x(t)] = \frac{1}{s+a} - \frac{1}{s-a} = \frac{-2a}{s^2 - a^2}$$

Mas, se $a < 0$, $x(t)$ diverge quando $|t| \rightarrow \infty$, a intersecção das ROCs é vazia, e a transformada não existe.

Região de convergência - \mathcal{L}

$$x(t) = e^{-a|t|} = e^{-at}u(t) + e^{at}u(-t)$$

Aplicando a propriedade da linearidade, $X(s)$ pode ser calculado por:

$$\mathcal{L}[e^{-at}u(t)] = \frac{1}{s+a}, \quad (\sigma > -a), \quad \mathcal{L}[e^{at}u(-t)] = \frac{-1}{s-a}, \quad (\sigma < a)$$

Se $a > 0$, $x(t)$ converge quando $|t| \rightarrow \infty$, e a intersecção das regiões de convergência ROCs é $-a < \sigma < a$, implicando em:

$$\mathcal{L}[x(t)] = \frac{1}{s+a} - \frac{1}{s-a} = \frac{-2a}{s^2 - a^2}$$

Mas, se $a < 0$, $x(t)$ diverge quando $|t| \rightarrow \infty$, a intersecção das ROCs é vazia, e a transformada não existe.

Região de convergência - \mathcal{L}

$$x(t) = [e^{-2t} + e^t \cos(3t)]u(t) = [e^{-2t} + \frac{1}{2}e^{-(1-j3)t} + \frac{1}{2}e^{-(1+j3)t}]u(t)$$

A transformada de Laplace é dada por:

$$\begin{aligned} X(s) &= \int_0^{\infty} [e^{-2t} + \frac{1}{2}e^{-(1-j3)t} + \frac{1}{2}e^{-(1+j3)t}]e^{-st} dt \\ &= \int_0^{\infty} e^{-2t} e^{-st} dt + \frac{1}{2} \int_0^{\infty} e^{-(1-j3)t} e^{-st} dt + \frac{1}{2} \int_0^{\infty} e^{-(1+j3)t} e^{-st} dt \\ &= \frac{1}{s+2} + \frac{1/2}{s+(1-j3)} + \frac{1/2}{s+(1+j3)} = \frac{2s^2 + 5s + 12}{(s^2 + 2s + 10)(s+2)} \end{aligned}$$

Logo $X(s)$ existe, se e somente se, todas as três parcelas existirem, que implica nas condições:

$$\operatorname{Re}[s] > -2, \quad \operatorname{Re}[s] > -1, \quad \operatorname{Re}[s] > -1$$

portanto, $\operatorname{Re}[s] > -1$.

Região de convergência - \mathcal{L}

$$\mathcal{L}[\delta(t - T)] = \int_{-\infty}^{\infty} \delta(t - T) e^{-st} dt = e^{-sT}$$

A integral converge para qualquer valor de s , a ROC o plano s .
Em particular, quando $T = 0$, nós temos:

$$\mathcal{L}[\delta(t)] = 1$$

Principais resultados - \mathcal{L}

$f(t)$ para $t \geq 0$	$F(s)$
Impulso unitário: $\delta(t)$	1
Degrau unitário: $\epsilon(t)$	$\frac{1}{s}$
t^n para $n = 1, 2, 3, \dots$	$\frac{n!}{s^{n+1}}$
e^{-at}	$\frac{1}{s+a}$
$\sin(\omega t)$	$\frac{\omega}{s^2 + \omega^2}$
$\cos(\omega t)$	$\frac{s}{s^2 + \omega^2}$

Propriedades - \mathcal{L}

Linearidade	$k \cdot L[f_1(t) + f_2(t)] = k \cdot F_1(s) + k \cdot F_2(s)$
Deslocamento no tempo	$L[f(t - T)] = e^{-sT} F(s)$
Derivação real	$L\left[\frac{d^n}{dt^n} f(t)\right] = s^n F(s) - \sum_{i=1}^n s^{n-i} \frac{d^{i-1}}{dt^{i-1}} f(0)$
Integração real	$L\left[\int_0^t f(t) dt\right] = \frac{F(s)}{s}$
Valor final	$f(\infty) = \lim_{t \rightarrow \infty} f(t) = \lim_{s \rightarrow 0} sF(s)$
Valor inicial	$f(0) = \lim_{t \rightarrow 0} f(t) = \lim_{s \rightarrow \infty} sF(s)$

Forma canônica de segunda ordem

Principais medidas - \mathcal{L}

$$G(s) = \frac{w_n^2}{s^2 + 2\zeta w_n s + w_n^2}$$

- **Tempo de subida:** $t_r = \frac{\pi - \beta}{\omega_d}$
- **Instante de pico:** $t_p = \frac{\pi}{\omega_d}$
- **Tempo de acomodação (t_s):** $t_s(2\%) = \frac{4}{\sigma} = \frac{4}{\zeta \cdot \omega_n}$
- **Sobressinal máximo (M_p):** $M_p[\%] = 100 \cdot e^{-\pi \frac{\zeta}{\sqrt{1-\zeta^2}}}$

Forma canônica de segunda ordem - \mathcal{L}

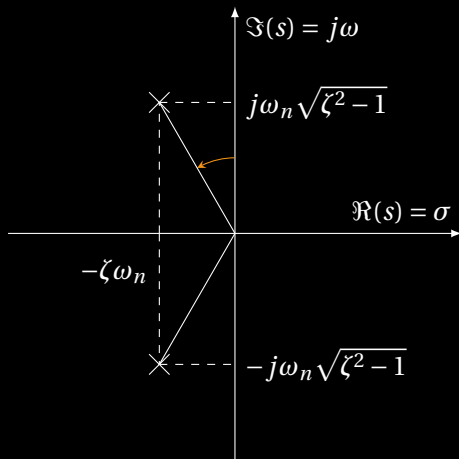


Figura 1: Caption

Circuito RC

Filtro

Para o circuito da Figura 2 conhecemos a função de transferência indicada pela Equação 2.

$$\underbrace{\frac{V_C(s)}{V_G(s)}}_{\text{Ganho}} = \underbrace{\frac{1}{sRC + 1}}_{\text{Função de transferência}} \quad (1)$$

(2)

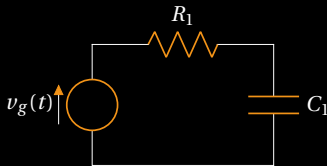


Figura 2: Circuito RC.

1. Determine o valor do produto RC que impõem que a resposta transitória do circuito, para uma entrada ao impulso, se acomode em cerca de 98% do valor final em 4 segundos. Se aplicarmos um degrau este valor se altera? Justifique seu raciocínio.
2. Se aplicarmos na entrada do sistema um sinal do tipo $x(t) = \cos(20\pi t)$ determine a função do sinal de saída utilizando Laplace e utilizando Fourier e compare os dois resultados.

Circuito RLC

Um outro tipo de filtro

Para um sistema de segunda ordem do tipo da Figura 3 sua respectiva função de transferência, com saída no capacitor, é dada pela Equação 3.

$$\underbrace{\frac{V_C(s)}{V_G(s)}}_{\text{Ganho}} = \underbrace{\frac{1}{s^2 LC + sRC + 1}}_{\text{Função de transferência}} \quad (3)$$

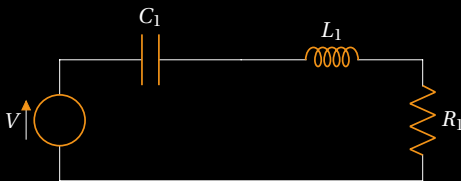


Figura 3: Circuito RLC - série.

1. É possível ajustar R, L e C para que haja uma oscilação livre com frequência de $f_{osc} = 1\text{Hz}$?
2. É possível ajustar R, L e C para que haja uma oscilação que se acomode em 4 segundos quando um impulso é aplicado a entrada?
3. É possível ajustar R, L e C para que não haja oscilação porém fique na iminência de oscilar?

Análise com condições iniciais

A Transformada de Laplace unilateral - \mathcal{L}

Par para a diferenciação.

$$\begin{aligned} x(t) &\stackrel{\mathcal{L}}{\longleftrightarrow} X(s) \\ \frac{dx(t)}{dt} &\stackrel{\mathcal{L}}{\longleftrightarrow} sX(s) - x(0^+) \end{aligned}$$

Um outro tipo de filtro

Considerando um sistema modelado pela Equação 4, determine:

1. O sinal de saída quando $y(t)$ quando $x(t) = e^{-t}\epsilon(t)$ e o capacitor estiver carregado com $v_c(0) = -1$.
2. O sinal de saída quando $y(t)$ quando $x(t) = e^{-2t}\epsilon(t)$ e o capacitor estiver carregado com $v_c(0) = -1$.

$$\underbrace{\frac{Y(s)}{X(s)}}_{\text{Ganho}} = \underbrace{\frac{s+2}{s+1}}_{\text{Função de transferência}} \quad (4)$$

Tratamento de um sinal de voz

Fonte¹

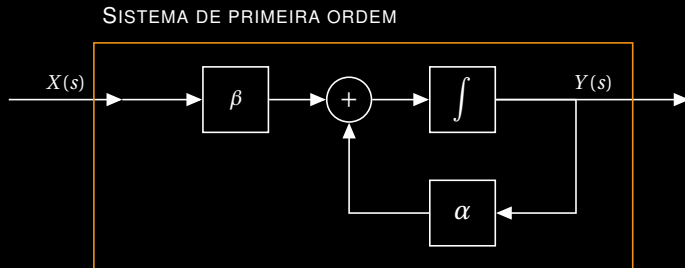


Figura 4: Diagrama de simulação de um sistame de primeira ordem.

¹ <http://www.texample.net/tikz/examples/noise-shaper/>

Sistemas mecânicos

Um amortecedor simplificado

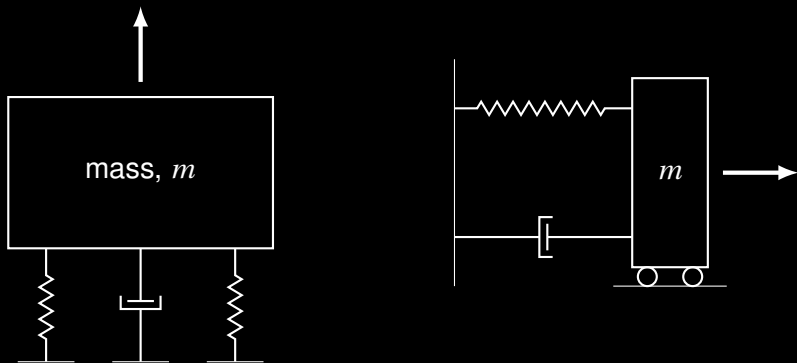


Figura 5: Dois sistemas de amortecimento - (a) deslocamento vertical e (b) deslocamento horizontal.

Equação diferencial do sistema (b)

$$F = F_m + F_b + F_k \quad (5)$$

$$F = m \frac{d^2 x}{dt^2} + B \frac{dx}{dt} + Kx \quad (6)$$

Lembrando para o circuito RLC:

$$V = L \frac{d^2 q}{dt^2} + R \frac{dq}{dt} + \frac{q}{C} \quad (7)$$

Trabalhando com dados

Motor de corrente contínua

Com condições iniciais nulas, podemos analisar os sistemas pela sua respectiva função de transferência, no domínio da frequência 9.

$$\frac{Y(s)}{U(s)} = G_p(s) = \frac{(s + z_1)(s + z_2) \dots (s + z_M)}{s^N (s + p_1)(s + p_2) \dots (s + p_N)} \quad (8)$$

Ordem de $G_p(s)$

Analisando a resposta ao degrau do sistema podemos aproximá-lo a um sistema de primeira ordem com dois parâmetros de sintonia: K_m e p_m .

$$\frac{Y(s)}{U(s)} = G_p(s) = \frac{K_m}{s + p_m} \quad (9)$$

Ajuste de parâmetros de $G_p(s)$ - malha de velocidade

O sistema foi ensaiado com uma onda quadrada, simulando vários sinais do tipo degrau aplicados ao motor. Foram gravados os sinais de velocidade - $\omega(t)$ (rotação) e posição do motor - $\theta(t)$. Para gravar utilizamos um computador que garantia uma amostragem $T = 10^{-3}$ segundos. Desta forma não temos os sinais contínuos e sim, N pontos em um intervalo de tempo. Logo temos os vetores $\omega(kT)$ (rotação) e posição do motor - $\theta(kT)$.

Ajuste de parâmetros de $G_p(s)$ - malha de velocidade

Para ajustar os parâmetros K_m e p_m desejamos que a saída do modelo y_{modelo} seja a mais próxima possível dos valores medidos y . Podemos aplicar a entrada $u(t)$ real no modelo, obtermos a saída y_{modelo} utilizando o comando *lsim* e compararmos com a saída medida y , visando minimizar a Equação 10a.

$$\min_{K_m, p_m} \sum_0^{NT} [y(kT) - y_{modelo}(kT)]^2 \quad (10a)$$

$$\text{sujeito a} \quad K_m \geq 0, \quad (10b)$$

$$p_m \geq 0. \quad (10c)$$

Ajuste de parâmetros de $G_p(s)$ - malha de velocidade

O função de transferência que minimizou o erro quadrático é dada pela Equação 11

$$\frac{Y(s)}{U(s)} = G_p(s) = \frac{22.47}{s + 28.09} \quad (11)$$

Tratamento de um sinal de voz

Fonte²

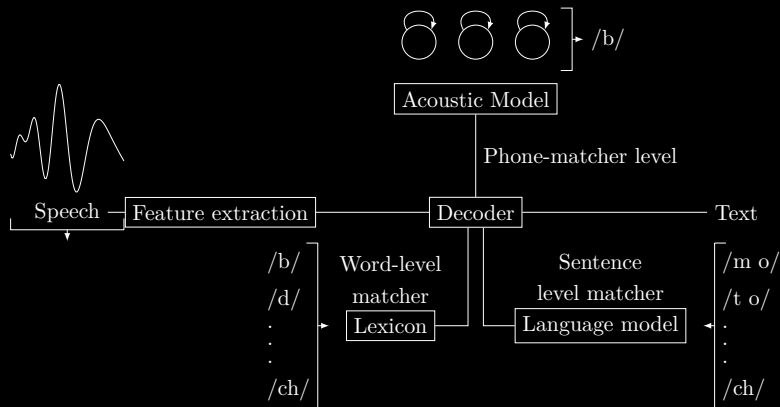


Figura 6: Sistema de processamento de Voz.

²<https://tex.stackexchange.com/questions/428192/addition-of-markov-model-and-list-letters-next-to-nodes-in-tikz?rq=1>